

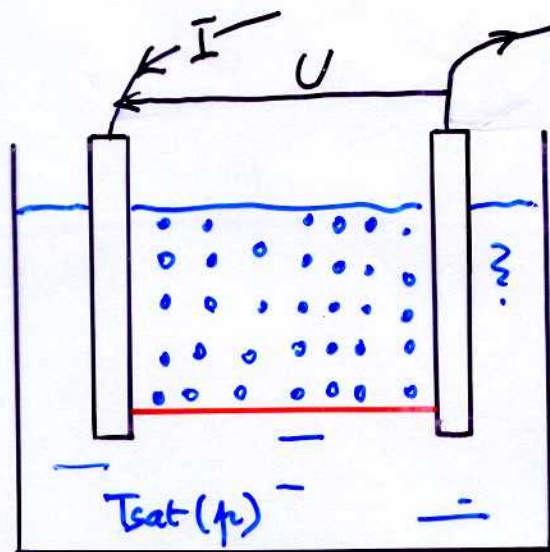
TRANSFERTS de CHALEUR

EBULLITION et CONDENSATION

- EBULLITION en VASE
- EBULLITION en CONVECTION FORCÉE
- CONDENSATION
- INSTABILITÉS de LEDINEGG

A . Liquides purs seulement

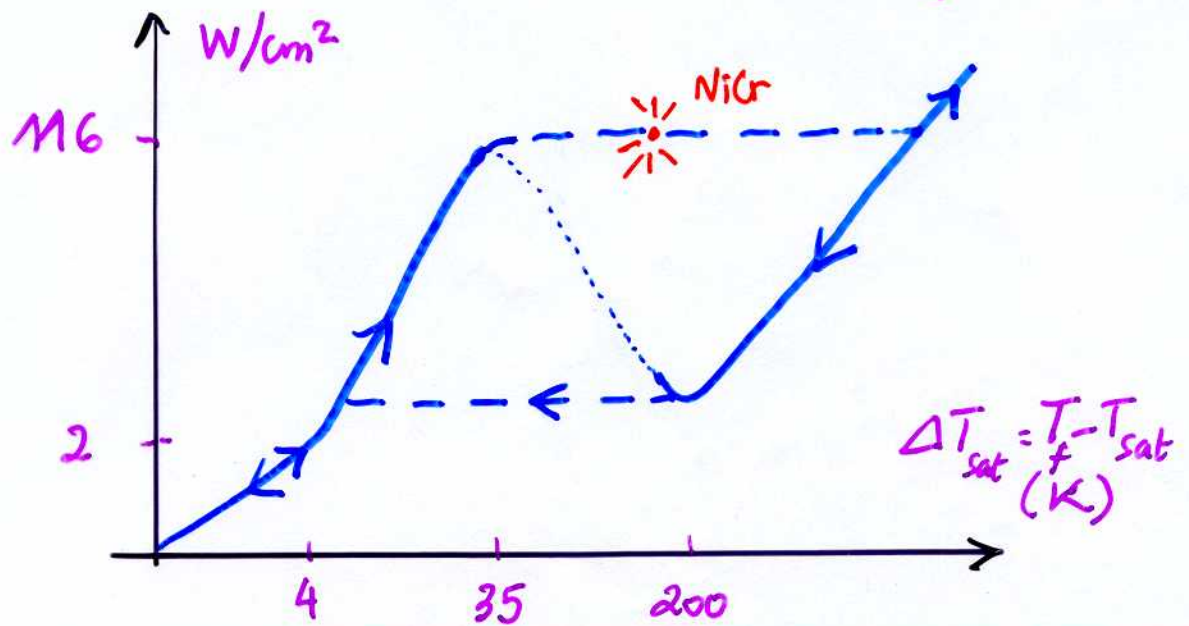
EBULLITION EN VASE.
EXP. de NUKIYAMA



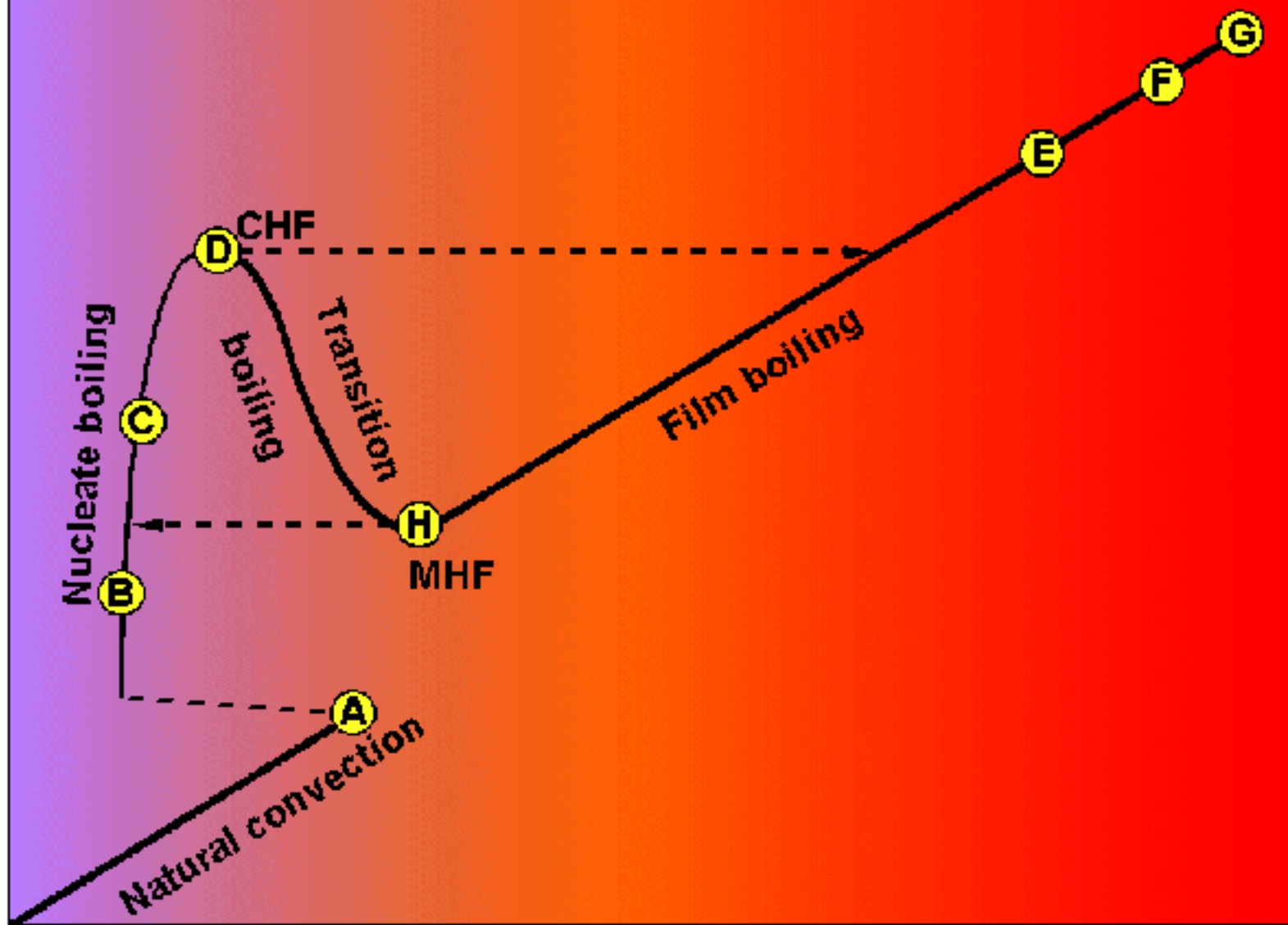
- Nukiyama 1934
- eau: $T_{sat} (\mu)$
- fl, diam: d
- long: ℓ
- NiCr et PE

- Chauffage à flux constant: $q (P)$

$$P = UI = q \pi d \ell ; R = \frac{U}{I} ; R(T_f)$$



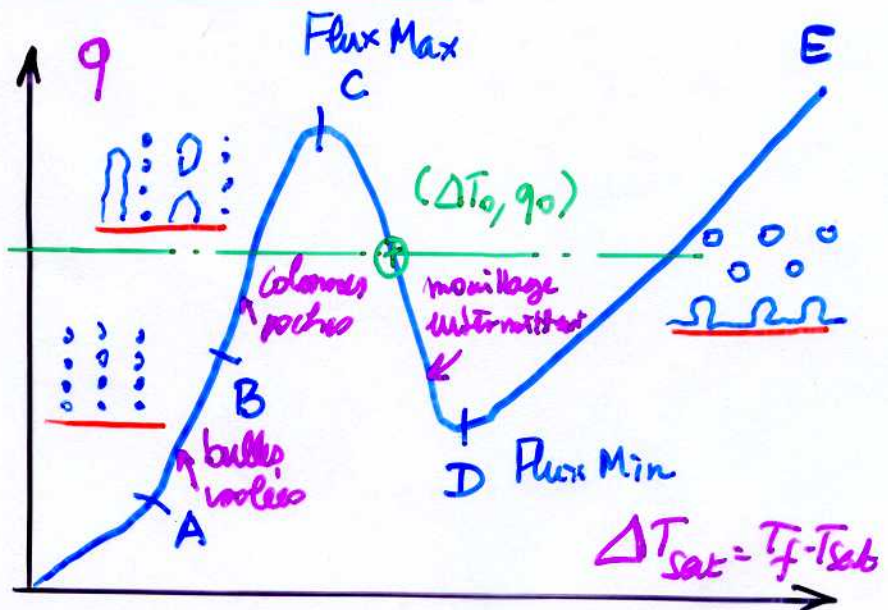
Heat flux



Surface superheat

RÉGIMES d'EBULITION en VASE

- OA: conv nat 1 ϕ
- AC: Ebul. Nucléé
- CD: Ebul. Transition
- DE: Ebul. film



- Branche CD : ébullition de Transition
Instable pour un chauffage à q imposé
bilan thermique Linéarisé : $q_0(\Delta T_0); T = T_0 + T_1$
- $M C_p \frac{dT}{dt} = P - q S$ $M C_p \frac{dT_1}{dt} = P - q_0 S - S \frac{\partial q}{\partial T} T_1$
- $T_1 = T_{10} e^{-\alpha t} \quad \alpha = \frac{S \frac{\partial q}{\partial T}}{M C_p \frac{\partial T}{\partial T_0}}$
- Stable si $\alpha > 0$:
- Branche CD instable : $\left(\frac{\partial q}{\partial T} < 0 \right)$
- Expérience à T imposé (cavitation...)
DREW & MULLER (1937)

CONVECTION NATURELLE

- Monophorique fil diam: D

$$Nu \triangleq \frac{hD}{k_L}$$

$$q = h(T_f - T_{sat}(p))$$

$$Pr \triangleq \frac{\nu_L}{\alpha_L}$$

$$Ra \triangleq \frac{g \beta_L \Delta T_{sat} D^3}{\nu_L \alpha_L}$$

$\uparrow k_L, \nu_L, \alpha_L$
 $\uparrow @ T_{film} \triangleq \frac{T_p + T_{sat}}{2}$

Churchill & Chu (1975) $10^{-5} < Ra < 10^{12}$

$$Nu = \left\{ 0.60 + \frac{0.387 Ra^{1/6}}{\left[1 + \left(\frac{0.559}{Pr} \right)^{2/3} \right]^{2/7}} \right\}^2$$

- Plaque plane Aire: A ; Périmètre P .

$$Nu = \begin{cases} 0.54 Ra^{1/4}; 10^4 < Ra < 10^7 \\ 0.15 Ra^{1/3}; 10^7 < Ra < 10^{10} \end{cases}$$

$Nu = \frac{hL}{k_L} = \frac{qL}{k_L \Delta T_{sat}}$
 $Ra = \frac{g \beta \Delta T L^3}{\nu_L \alpha_L}$
 $L \leq \frac{A}{P}$

APPARITION de L'EBULLITION NUCLEÉE

• Seuil d'apparition (stabilité)



$$\text{Eq. Mécanique : } p_v = p_L + \frac{2\sigma}{R_c}$$

$$\text{Eq. Thermique : } T_v = T_L$$

$$\text{do la bulle } p_v = p_{\text{sat}}(T_v) = p_{\text{sat}}(T_L)$$

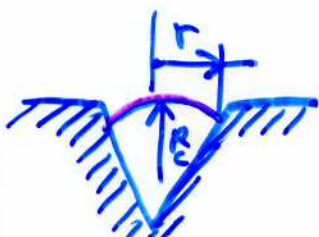
$$\Rightarrow R_c = \frac{2\sigma}{p_{\text{sat}}(T_L) - p_L} : \text{condition d'éq.}$$

• Bulle de Rayon R (R gçq : pas équilibre)

$$R_c = \frac{2\sigma}{p_v - p_L}$$

• $R > R_c \Rightarrow p_v < p_{\text{sat}}(T) \rightarrow \text{évaporation } R \uparrow$

• $R < R_c \Rightarrow p_v > p_{\text{sat}}(T) \rightarrow \text{condensation } R \downarrow$

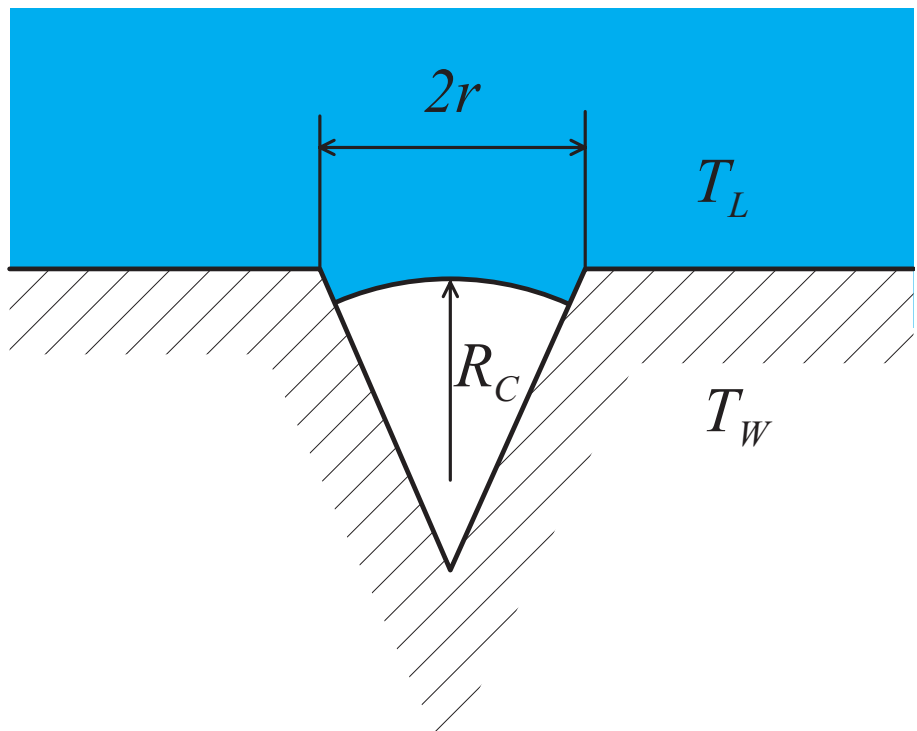


$$\bullet \text{ qd } T_v \uparrow, T_L \uparrow; R_c = \frac{2\sigma}{p_{\text{sat}}(T_L) - p_L} \downarrow.$$

le rayon des sites activer diminue

Site rayon $r \approx R_c$ quand $T_v \uparrow$

APPARITION DE L'EBULLITION NUCLEE (3/3)



- Paramètres de contrôle : p_L et $T_W = T_{L\infty}$
- Paroi surchauffée : $T_{L\infty} = T_{\text{sat}}(p_L) + \Delta T$
- Distribution de sites : $r, R = R(r, \theta)$
- Equilibre mécanique int. : $p_V = p_L + \frac{2\sigma}{R}$
- Equilibre thermo. int. : $p_V = p_{\text{sat}}(T_{Li})$

$$T_{Li} = T_{\text{sat}}\left(p_L + \frac{2\sigma}{R}\right) \approx (T_{L\infty} - \Delta T) + \frac{2\sigma}{R} \frac{dT}{dp}_{\text{sat}}$$

- Flux vers l'interface : $q > 0, \dot{R} > 0$

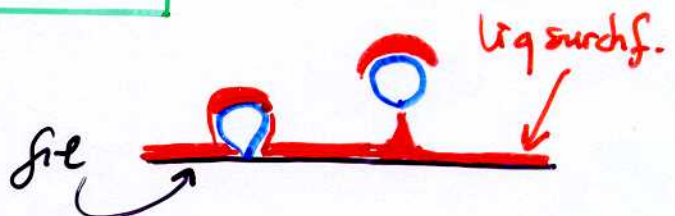
$$q = h(T_{L\infty} - T_{Li}) = h \left(\Delta T - \frac{2\sigma}{R} \frac{dT}{dp}_{\text{sat}} \right)$$

$$\Delta T > \Delta T_{\text{eq}} = \frac{2\sigma}{R} \frac{dT}{dp}_{\text{sat}}, \quad R > R_{\text{eq}} = \frac{2\sigma}{\Delta T} \frac{dT}{dp}_{\text{sat}}$$

1 bar, $\Delta T = 3^\circ C$, $R_{\text{eq}} = 5,2 \mu\text{m}$ 155 bar, $\Delta T = 3^\circ C$, $R_{\text{eq}} = 0,08 \mu\text{m}$

MECANISMES
D'EBULLITION
(NUCLEE)

- Transport de liqu. superch.



Yagamata et al. (1955)

$$q \sim (T_w - T_{sat})^{1/2} n^{0.33}$$

Σ densité superficielle (m^{-2})
de sites de nucleation actifs

$$n: n \uparrow q d \Delta T = T_f - T_{sat} \uparrow$$

$$n \sim \Delta T^{5/6} \Rightarrow q \propto \Delta T_{sat}^{5/3}$$

échange très efficace (precision secondaire ...)

- Correlations de Raesnor (1952)

$$\frac{\text{conv}}{\text{cond}} : N_{Nu_L} = C R_{eL}^2 P_{rL}^3 \quad \begin{matrix} \text{diamètre de détachement} \\ (\text{flot} \sim \text{cap.}) \end{matrix}$$

Echelles Vitesse : $\frac{q}{\rho_L d^2} \left(\frac{q}{d} \approx m_L = m_V \right) L: \sqrt{\frac{\sigma}{g(\rho_L - \rho_V)}}$

$$\frac{C_L (T_w - T_{sat})}{d} = C_{sf} \left[\frac{q}{\mu_L d} \sqrt{\frac{\sigma}{g(\rho_L - \rho_V)}} \right]^{0.33} \left(\frac{\mu_L C_L}{k_L} \right)^5$$

$$Ja = C_{sf} R_{eL}^{0.33} P_r^5$$

$$Jakob = \frac{\text{Chaleur sensible}}{\text{Chaleur latente}}$$

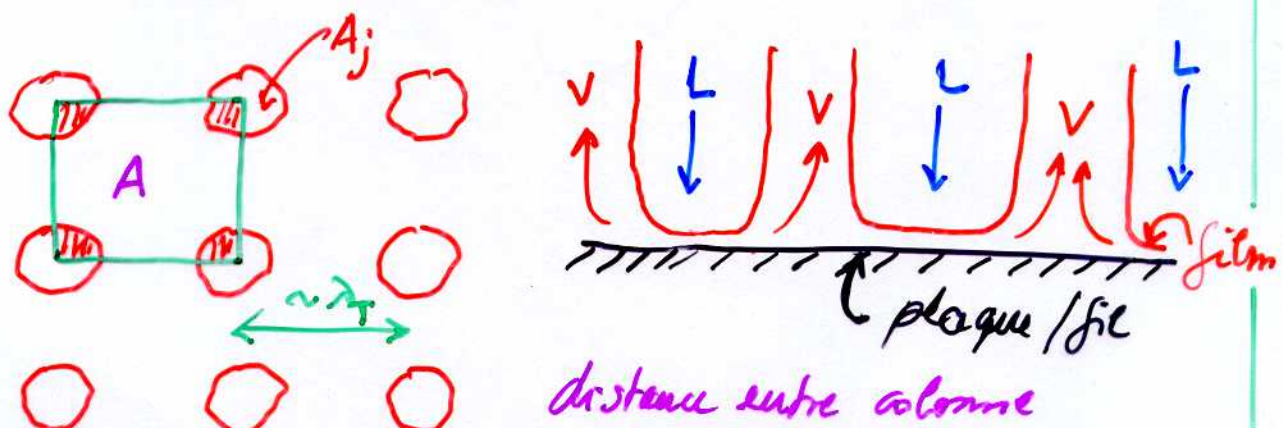
dépend du liquide et surface (≈ 0.013)

$s: 1 \text{ eau}$

$s = 1.7 \text{ autres fluides}$

FLUX CRITIQUE & CRISE D'EBULLITION

- Régime d'éconancement au voisinage du CMF



RT: Rayleigh - Taylor (T)

$$\lambda_T = 2\pi\sqrt{3} \sqrt{\frac{\sigma}{(\rho_2 - \rho_v)g}}$$

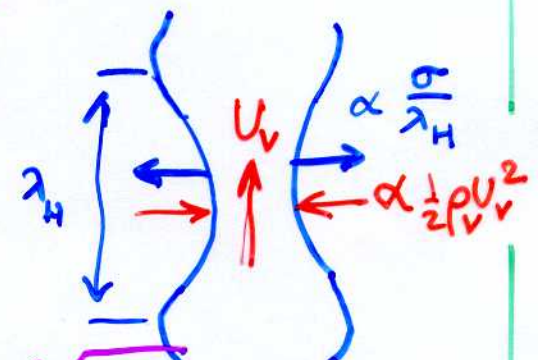
- Stabilité de la colonne de vapeur

Instabilité de Kelvin Helmholtz

Capillarité > Effet "Bernoulli"

- Stabilité marginale K-H

$$\frac{1}{2}\rho_v U_v^2 < \frac{\sigma}{\lambda_H} \Rightarrow U_v < \sqrt{\frac{2\sigma}{\lambda_H \rho_v}}$$



- U_v : bilan thermique sur □ le motif

$$qA = \rho_v U_v A_j \lambda \quad U_v = \frac{q}{\rho_v} \frac{A}{A_j}$$

FLUX MAXIMUM
(Pool Boiling)

Stabilité de la colonne de vapeur :

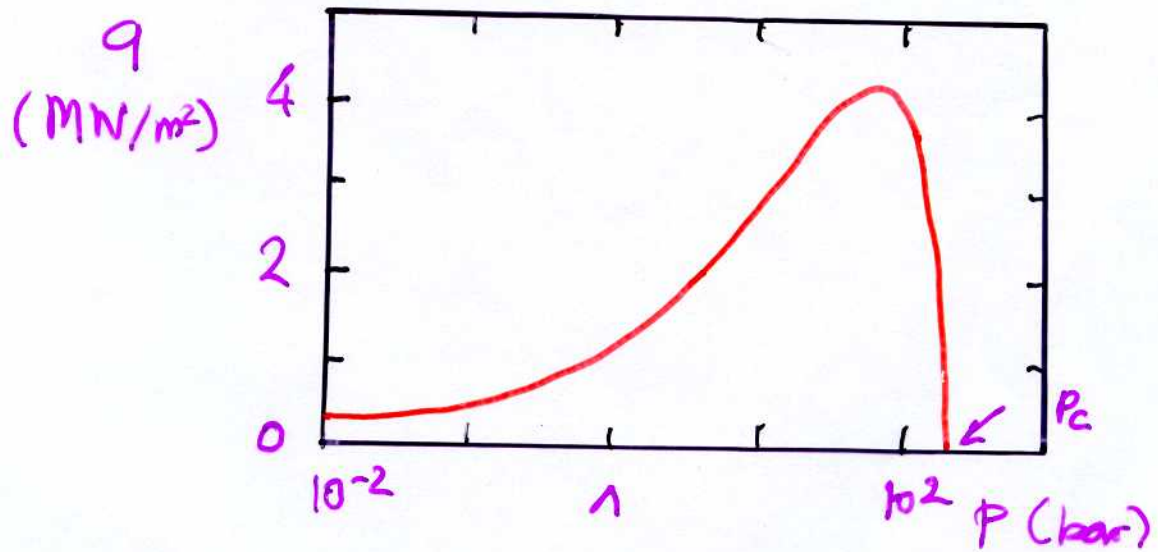
$$U_v = \frac{q}{d\rho_v A_j} < \sqrt{\frac{g\sigma}{\lambda_H \rho_v}}$$

d'où

$$q < \frac{A_j}{A} \lambda \rho_v \sqrt{\frac{g\sigma}{\lambda_H \rho_v}} \triangleq q_{\max.}$$

Corrélations :

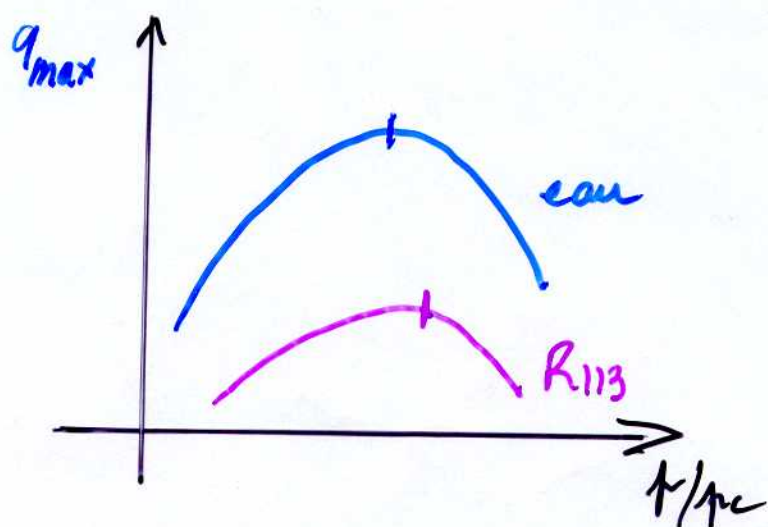
- Zuber (1958) Rayon du jet (A_j) = $\frac{1}{4} \lambda_T$
 $\lambda_H = \lambda_R = 2\pi \left(\frac{1}{4} \lambda_T \right)$
 C'est le + gde stable pour RTI
 $q_{\max.} = 0,12 \rho_v^{1/2} d \sqrt{4\sigma(\rho_L - \rho_v)g}$
- Lienhard & Dhir (1973) Rayon du jet = $\frac{1}{4} \lambda_T$
 $\lambda_H = \lambda_T$
 $q_{\max.} = 0,15 \rho_v^{1/2} d \sqrt{4\sigma(\rho_L - \rho_v)g}$
- Kutateladze (1948)
 analyse dimensionnelle
 $q_{\max.} = 0,13 \rho_v^{1/2} d \sqrt{4\sigma(\rho_L - \rho_v)g}$.



flux critique
Plage plane - eau

$$q_{\max} \propto p_c^{1/2} d \sqrt{\sigma(\lambda - \lambda_c)} \delta(p)$$

Etats correspondants $q = f(p/p_c)$



CHF maximum : Eau 400 W/cm^2 @ 70 bar

Freon 113 32 W/cm^2 @ 10 bar

EBULLITION
En FILM.



- Ebullition en film sur un cylindre horizontal, Bromley (1950). eau

$$\overline{Nu}_v = 0,62 \left[\frac{\rho_v (\rho_L - \rho_v) g \bar{L}' D^3}{\mu_v k_v (T_w - T_{sat})} \right]^{1/4}$$

$$\bar{L}' = L \left(1 + 0,34 \frac{C_p v (T_w - T_{sat})}{\bar{L}} \right) \quad (*)$$

Pas de rayonnement ; $D > 1,3 \text{ mm}$; Pression atmosphérique

Analogie / Conduction sur un cylindre horizontal, Nusselt (1916).

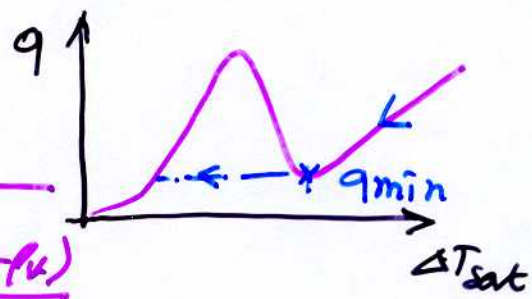
$$\overline{Nu} = 0,729 \left[\frac{\rho_v (\rho_L - \rho_v) g \bar{L}' D^3}{\mu_v k_L (T_{sat} - T_w)} \right]^{1/4}$$

$$\text{avec } \bar{L}' = L \left(1 + 0,68 \frac{C_p v (T_{sat} - T_w)}{L} \right)$$

(*) Propriétés physiques : $\rho_L @ T_{sat}$

$$\nu_{sp} @ T_f = (T_{sat} + T_w)/2.$$

• Flux Minimum



$$q_{\min} = C \rho_v \Delta \sqrt{\frac{\sigma g (\rho_i - \rho_u)}{(\rho_i + \rho_v)^2}}$$

Zuber (1959) $C = 0,13$ (stabilité)

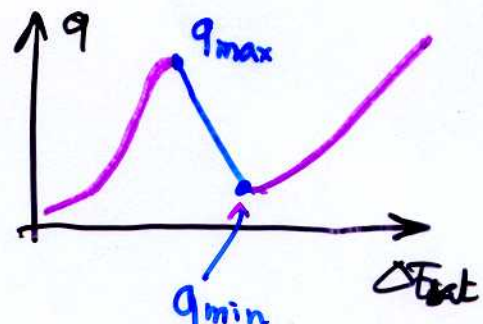
Brennen (1960) $C = 0,09$ Remouillage, Pt de Liedenfrost

• Ebullition de transition ? peu de données

Méthode pragmatique :

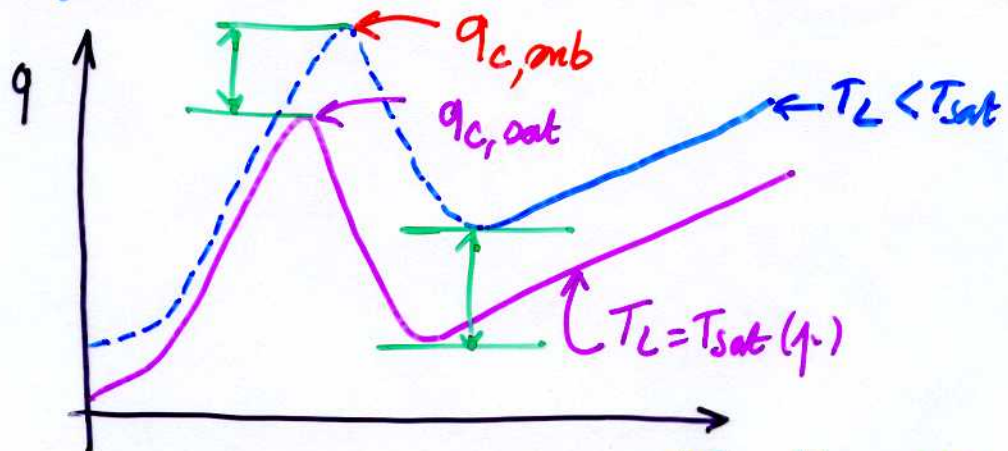
Évolution linéaire entre q_{\max}
et q_{\min} (Echelles log/cos)

ΔT_{min} : corrélation ab. film



AUTRES EFFETS

- sous refroidissement du liquide $T_L < T_{sat}(\gamma)$



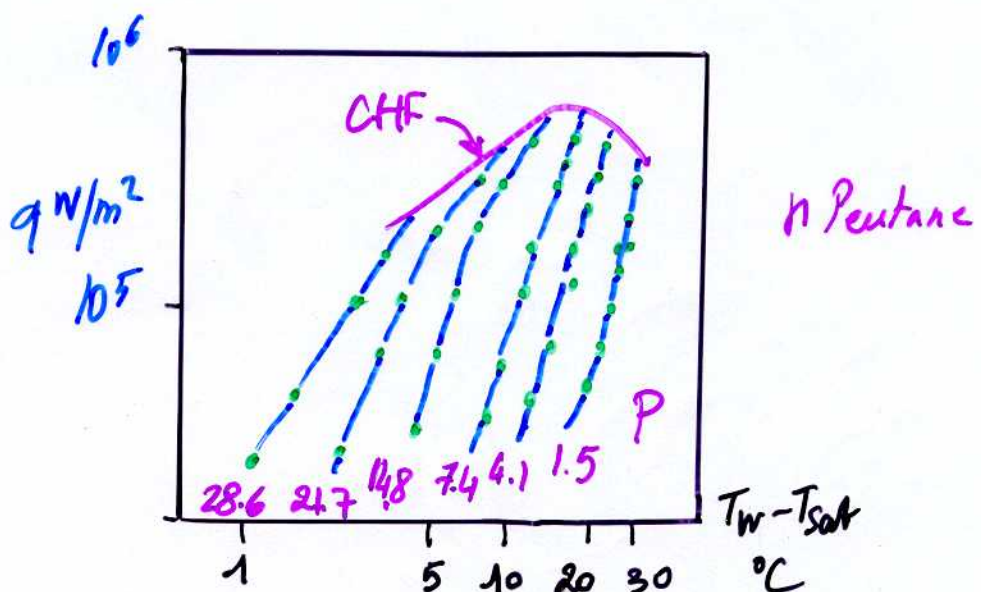
Ivey & Morris (1961)

$$T_w - T_{sat} = \Delta T_{sat}$$

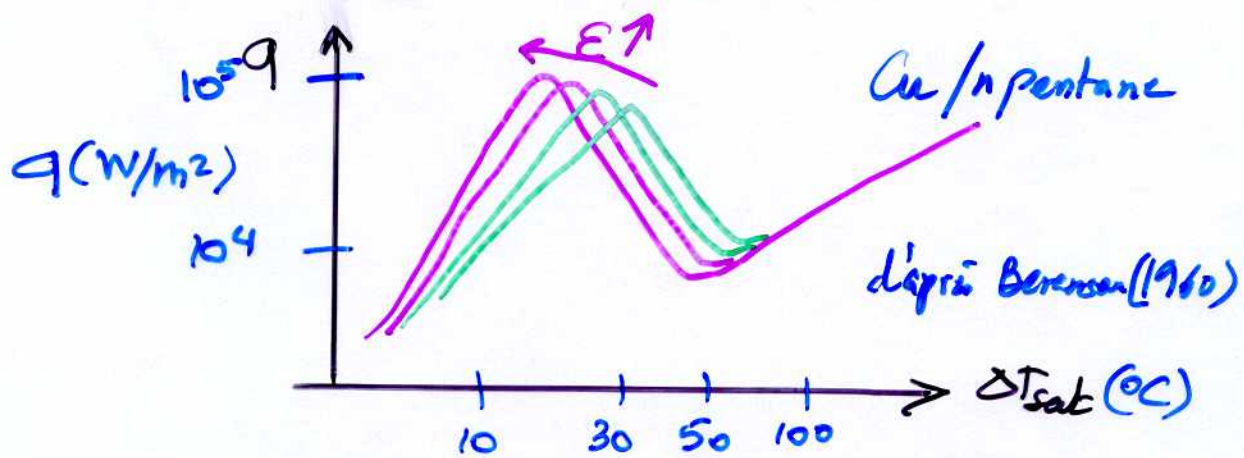
sous refroidissement $\Delta T_{sub} \equiv T_{sat} - T_L$

$$\frac{q_{c,sub}}{q_{c,sat}} = \frac{q}{q_{c,sat}} \left(1 + 0,1 \left(\frac{\rho_L}{\rho_v} \right)^{3/4} \frac{G_L \Delta T_{sub}}{\Delta} \right)$$

- Pression $q_{c,sub} \rightarrow P \uparrow \Rightarrow \Delta T_{sat} \downarrow (R_c \downarrow)$



AUTRES EFFETS
(suite)

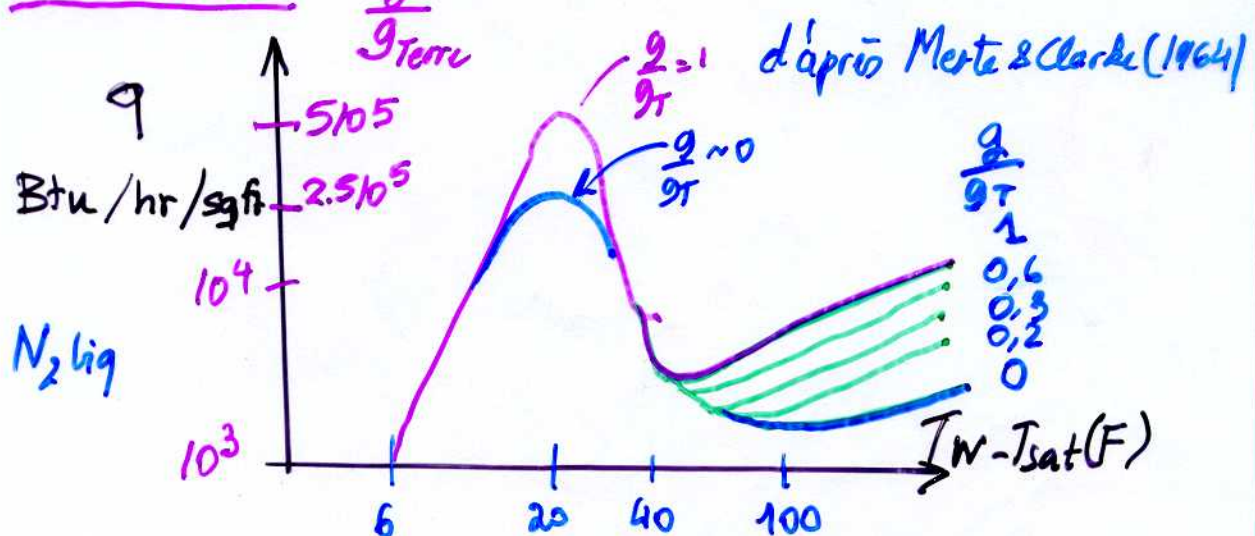


- Rugosité ϵ :

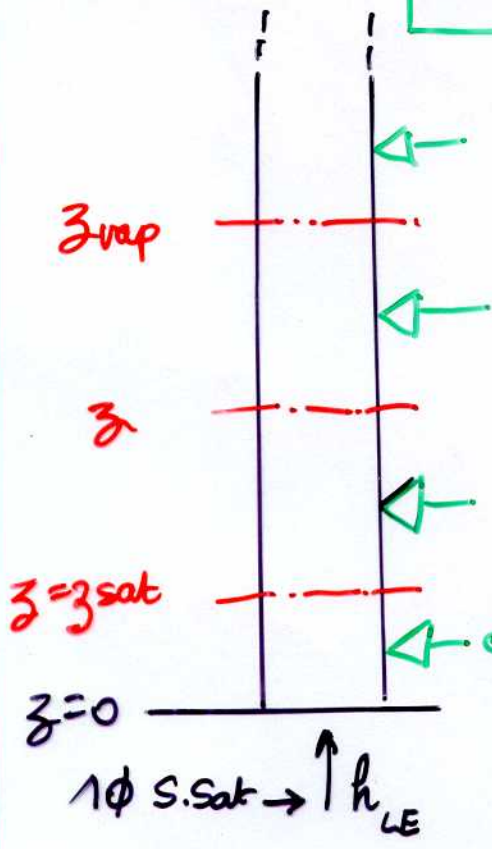
affecte l'ébullition nucléaire q_c^\uparrow ; ϵ^\uparrow
effet limite sur le flux critique
Pas d'influence sur l'ébullition en film

$\epsilon \downarrow r_{car} \downarrow \Delta T_{sat}$ à l'apparition bulle \uparrow

- Gravité Réduite g .



TITRES ET BILANS THERMIQUES



$$\text{Titre massique } \alpha = \frac{M_G}{M_G + M_L}$$

$\alpha \sim \alpha_{\text{eq}}$ titre à l'éq. th.

- La vapeur apparaît à z_{sat} où $T_L = T_{\text{sat}}(P)$

- Le liquide disparaît à z_{vap}

- Entre les deux $\text{Liq} + \text{Vap} \rightarrow T_{\text{sat}}$

$$2f : z_{\text{sat}} < z < z_{\text{vap}} \quad \Phi_{\text{rc}} D_z = M(h_L^{\text{sat}} - h) + \alpha_{\text{eq}} M \Delta h$$

Titre thermodynamique Enthalpie fluide

Monophasique liquide $\alpha_{\text{eq}} = -\frac{h_L^{\text{sat}} - h_L}{\Delta h} < 0 \quad h = h_L$

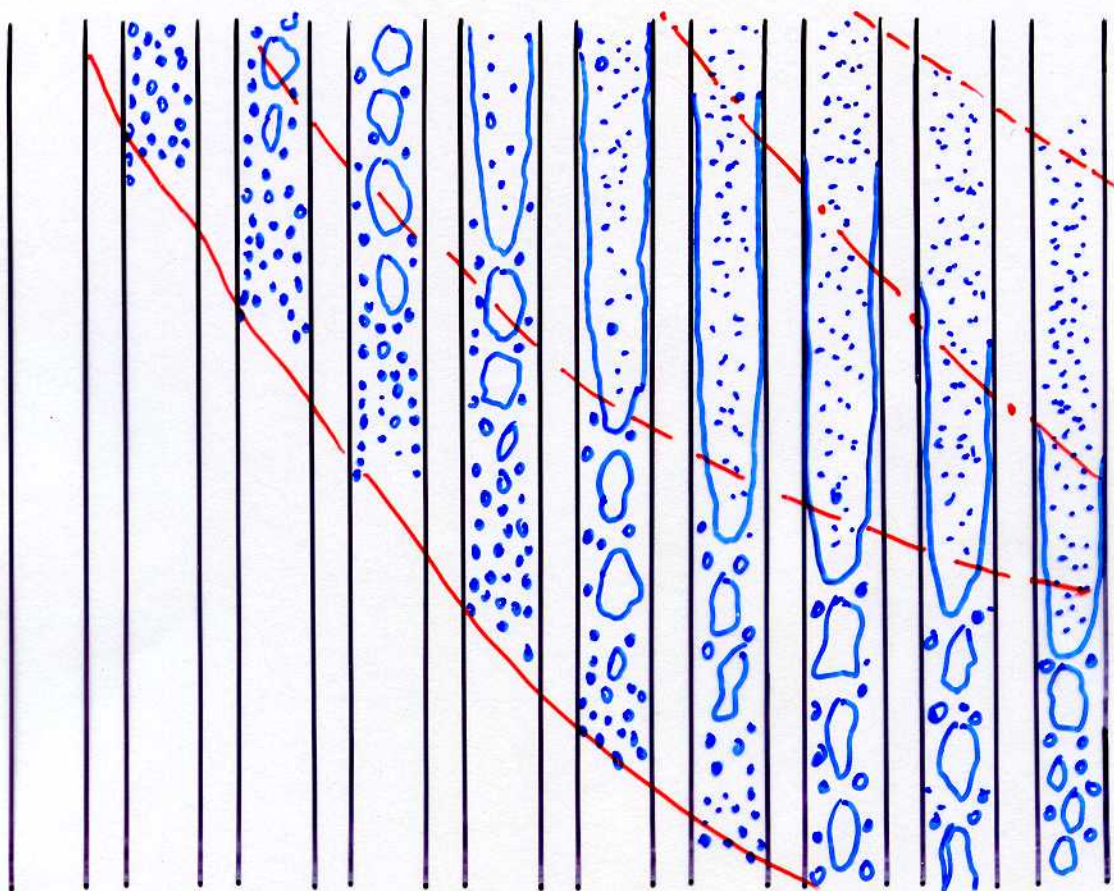
Diphasique $\alpha_{\text{eq}} \in \text{Bilan Therm. } h = \alpha_{\text{eq}} h_V^{\text{sat}} + (1 - \alpha_{\text{eq}}) h_L^{\text{sat}}$

Monophasique Vapeur $\alpha_{\text{eq}} = 1 + \frac{h_V - h_V^{\text{sat}}}{\Delta h} > 1 \quad h = h_V$

Partout $\alpha_{\text{eq}} \doteq \frac{h - h_L^{\text{sat}}}{\Delta h}$

REGIMES D'ÉCOULEMENT VERTICAL ASCENDANT

- Écoulements bouillants (Chaudage)
 - Evaporateurs, chaudières



(4) — flux de chaleur croissant →

[d'après Henrit & Hall Taylor (1970)].

- débit liquide constant

— appariation de l'ébullition nucléée

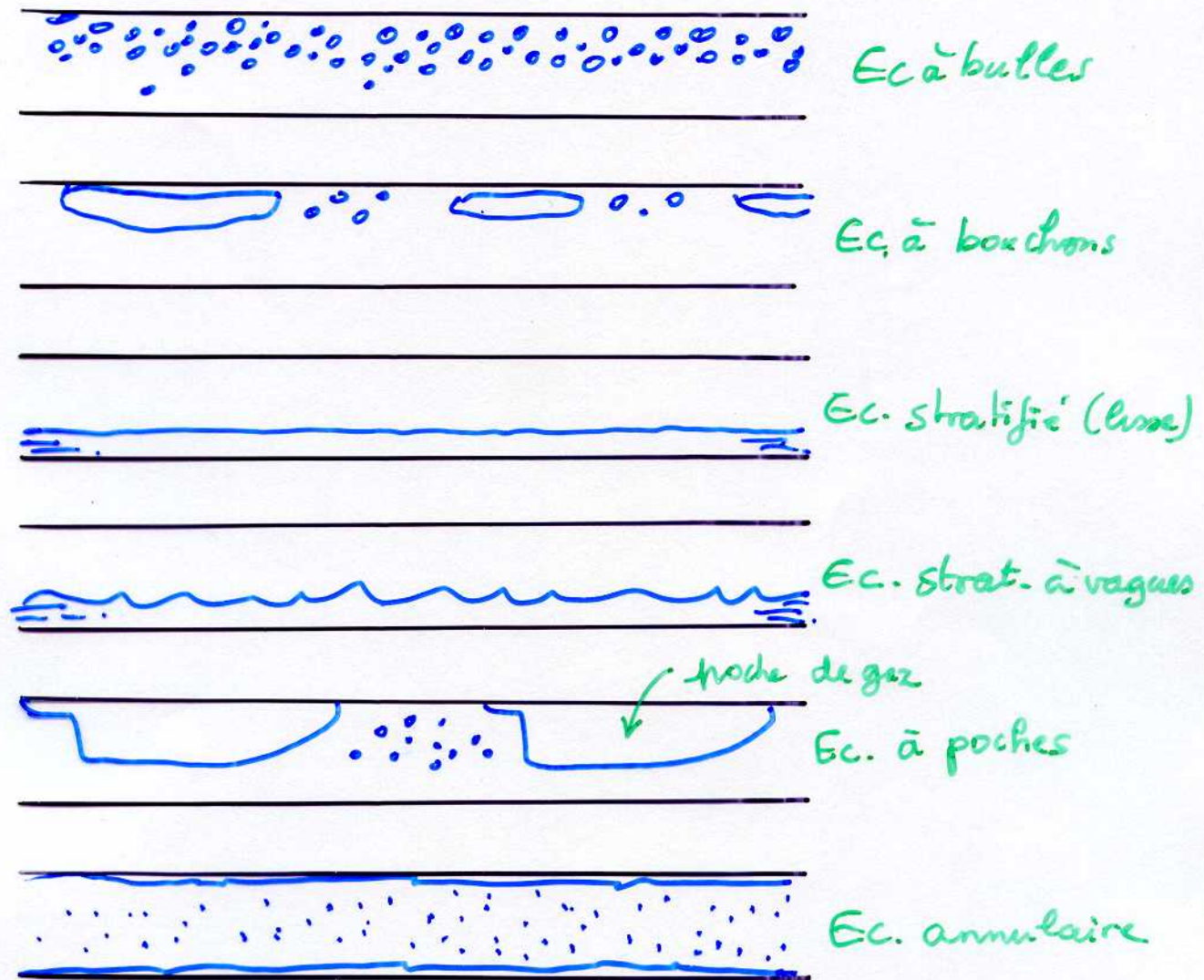
— — — fin de l'ébullition nucléée

— · — — assèchement (du fil)

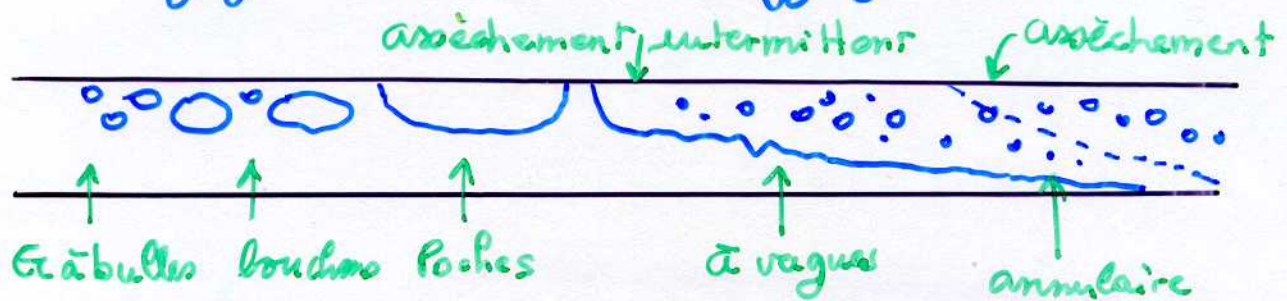
— · · — — vapeur surchauffée

RÉGIMES D'ÉCOULEMENT HORizontaux co-côLr.

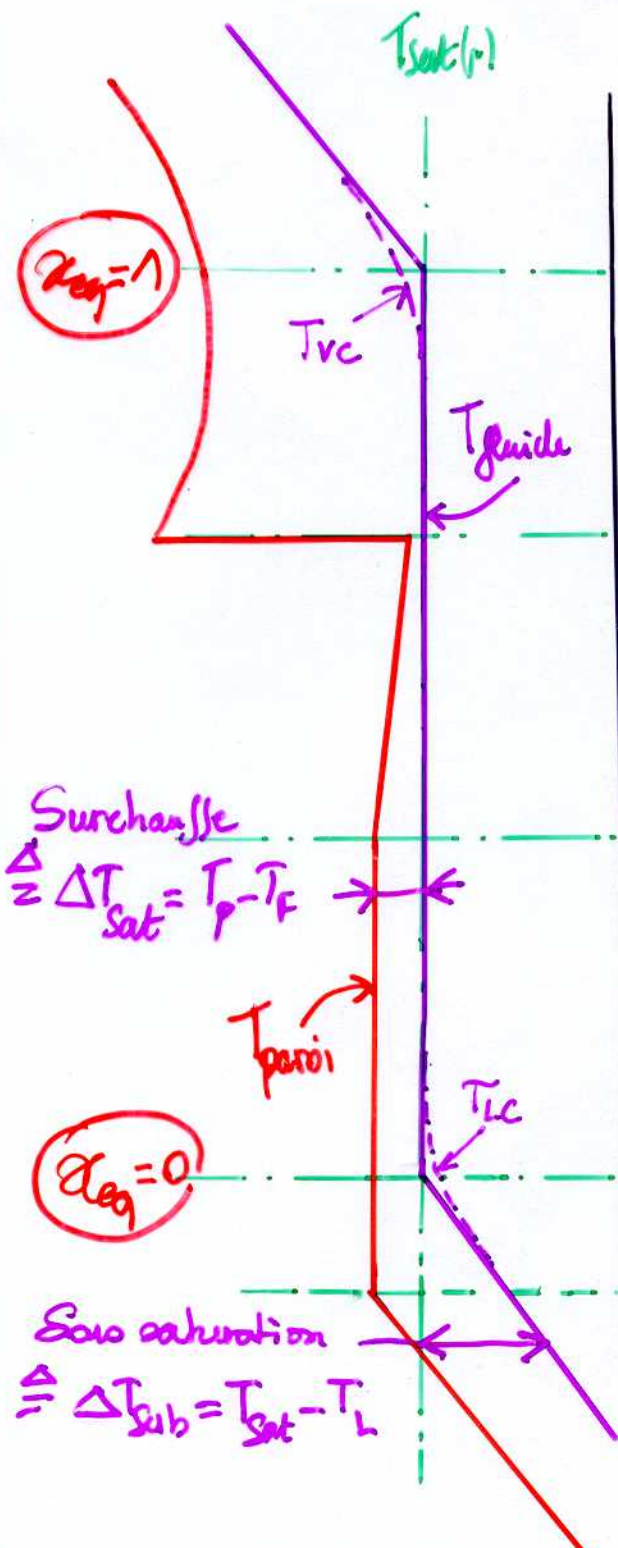
- Configurations principales (adiabatiques)



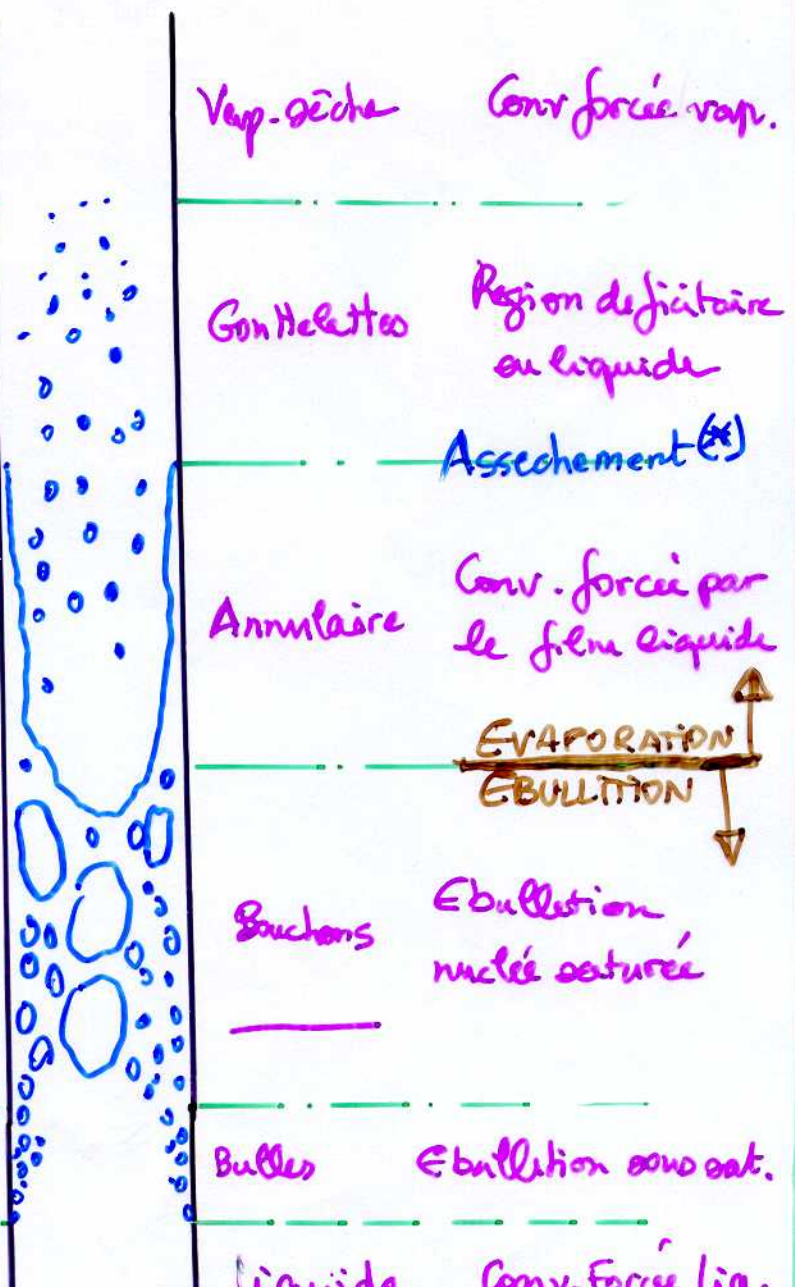
- Configurations avec chauffage

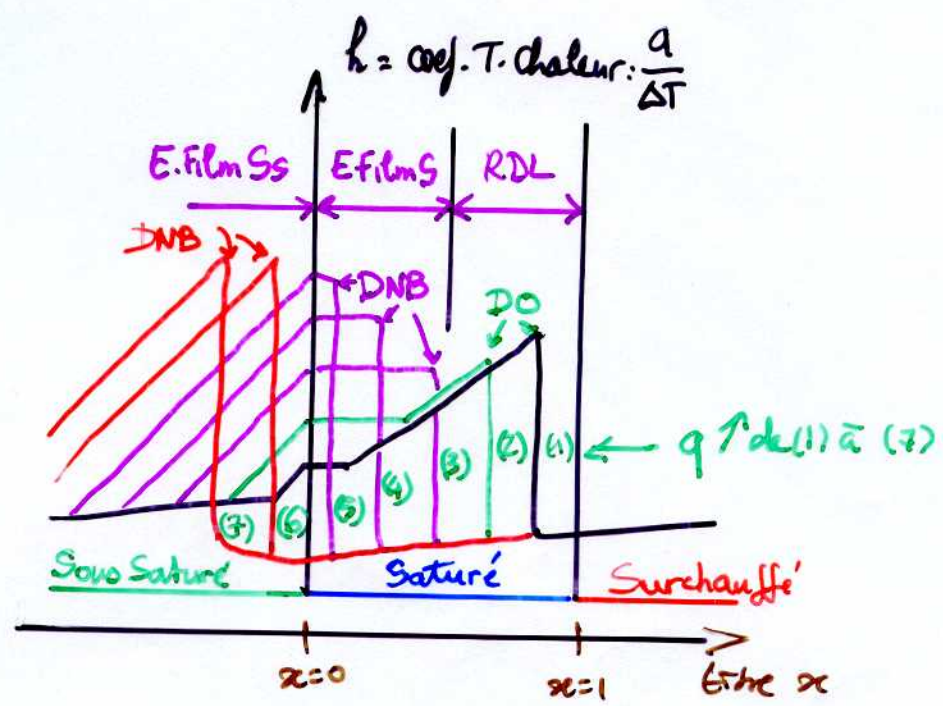


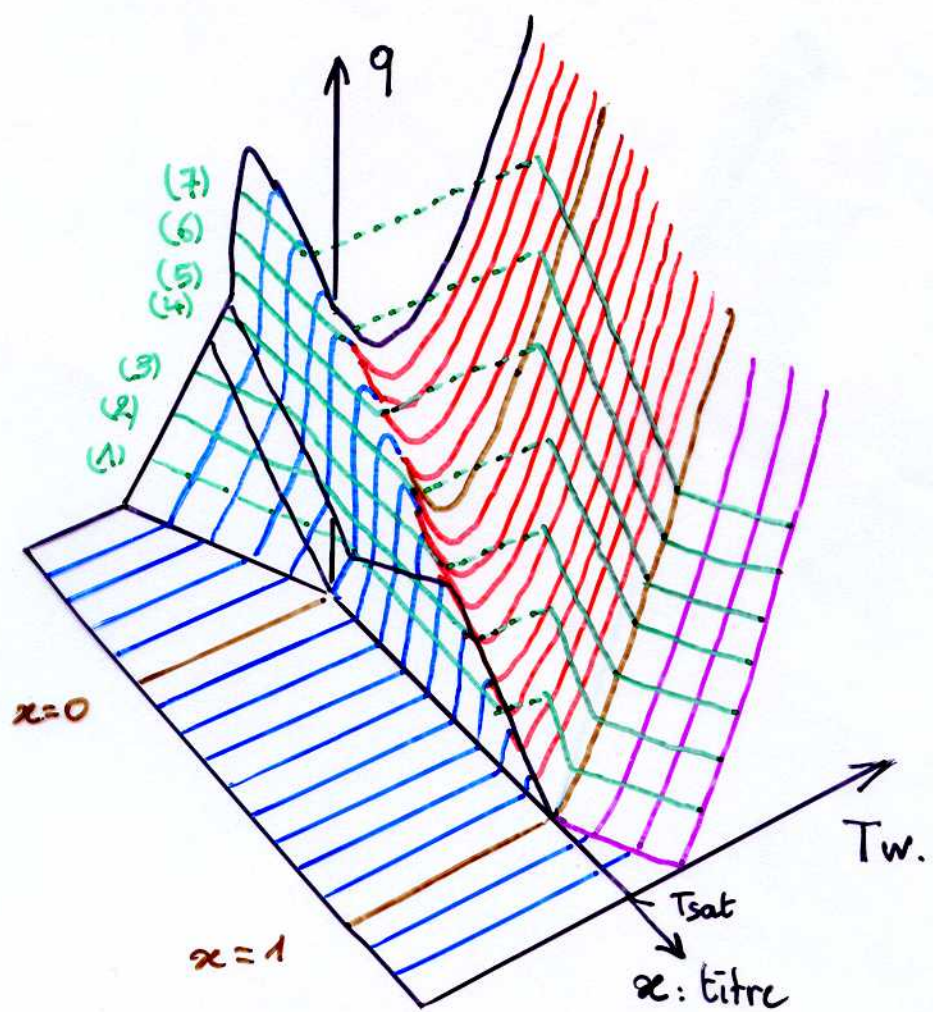
REGIMES THERMIQUES TUBE CHAUFFANT VERTICAL



Densité de flux q. imposée





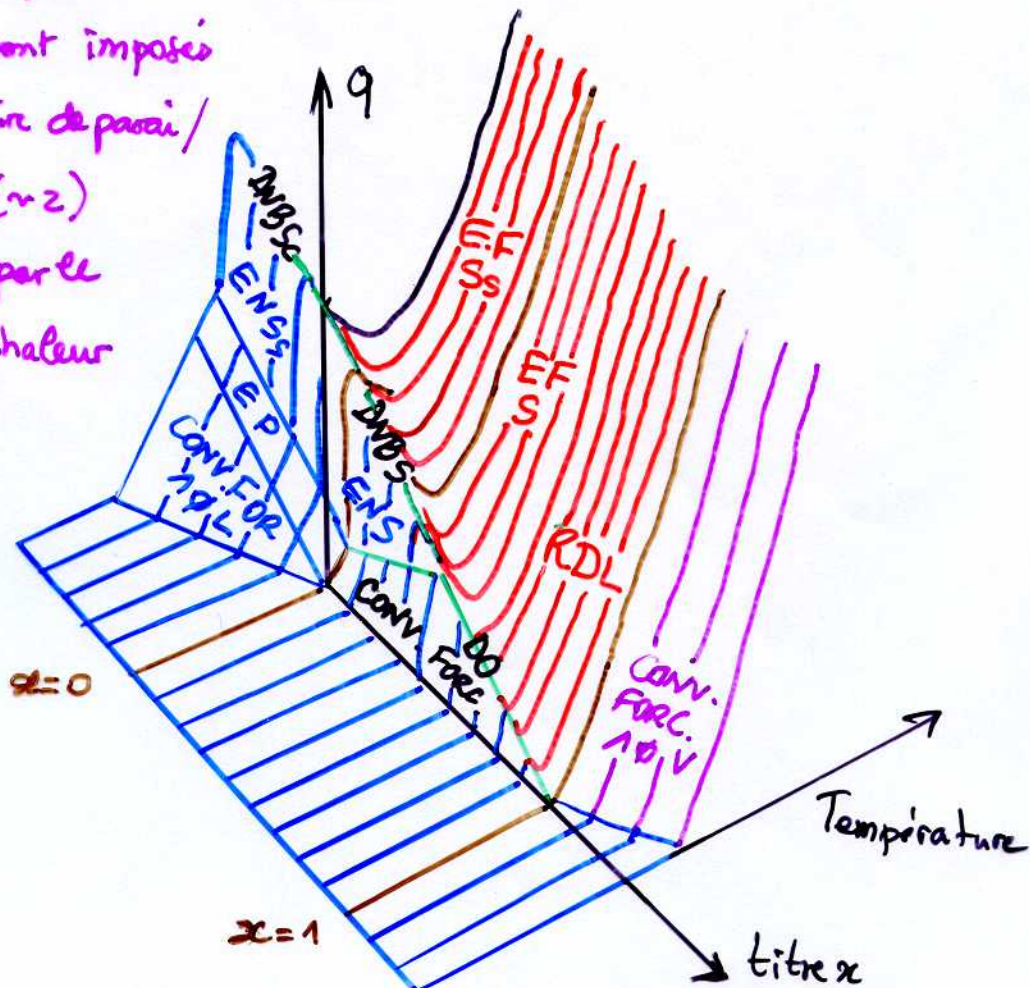


d'après Collier (1981)

REGIMES D'EBULLITION

FLUX VARIABLE

- débit liquide et T^o amont imposé
- Température de passai/titre x ($\approx z$) paramétrée par le flux de chaleur



CONV. FOR 10L : Convexion forcée en monophasique liquide / Vapeur

EP : Ebullition partielle

ENS / Ss : Ebullition Nucléaire naturelle / Sous-saturée

EFS / SS : Ebullition au film saturé / Sous-saturé

RDL : Région déficitaire en liquide

CONV. FORC : Convexion forcée / film liquide

DNB S/Sg : crise d'ébullition DO : Assèchement

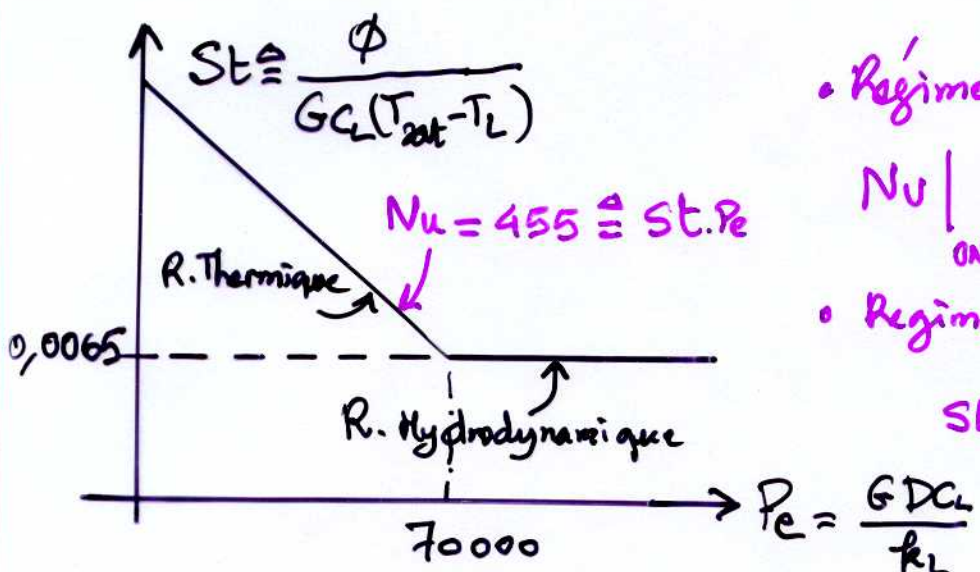
CORRELATIONS du
TRANSPERT de CHALEUR.

- Non-phosphique Dittus Boelter $Re > 10\ 000$

$$Nu = \frac{hD}{k_L} = 0,023 \left(\frac{GD}{\mu_L} \right)^{0,8} \left(\frac{\rho_L \mu_L}{k_L} \right)^{1/3}$$

$(Re)^\frac{1}{4}$ $\frac{1}{k_L}$ $(Pr)^\frac{1}{4}$

- Ebullition sous-saturée Saha & Zuker (1974)
 - démarrage de l'ébullition significative $\rightarrow \Delta P_g$



- Régime thermique ($F \downarrow$)
 - Régime hydrodynamique ($G \uparrow$)
- $$Nu \Big|_{DNB} = \frac{\Phi D}{k_L(T_{sat} - T_L)} \Big|_{DNB} = 455$$

$$St = 0,0065$$

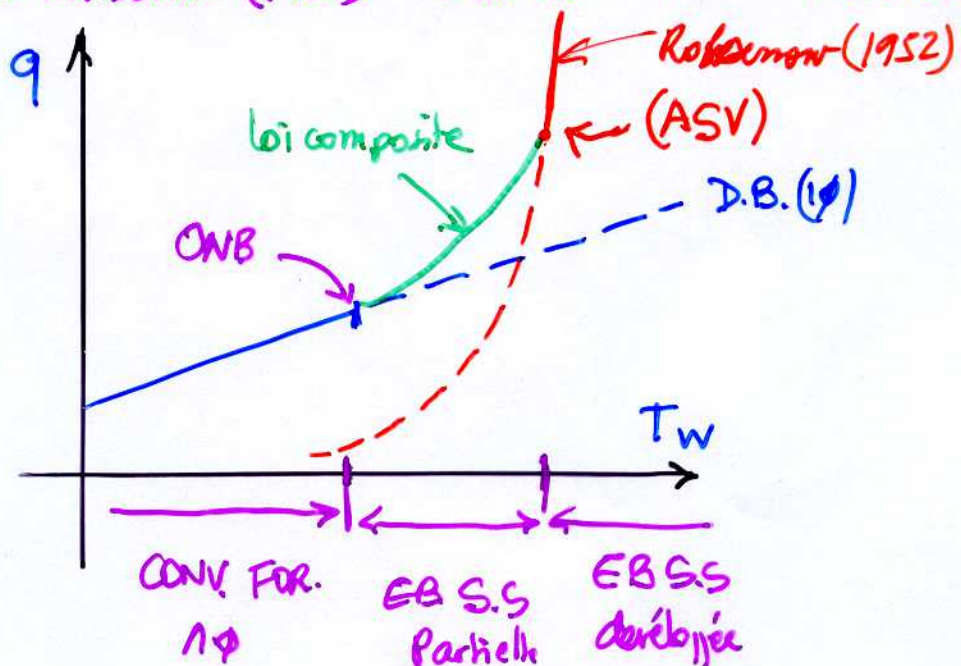
- Apparition et Arrêt de l'ébullition nucléaire (DNB)
Frostet Darbonne (1967)

overchauffe: $(T_w - T_{sat}) = \left(\frac{85 q T_{sat}}{k_L \Pr \alpha} \right)^{0,5} Pe$

* fluide

EBULLITION (Suite)

- Ebullition sous-saturée partielle
 - Ebullition (ggs sites) et Conv. forcée \rightarrow Roshenow (1952)
 - ou - Borges & Roshenow (1964) : raccord 1Φ -Eb. ss dével.



- Ebullition sous saturation développée

Mécanisme identique à l'ébullition mûte en vase

$$\text{Roshenow (1952)} \quad \text{Ja} = C_{sf} R_L^{0,33} \Pr^{\frac{5}{3}} \quad C_{sf} \approx 0,015$$

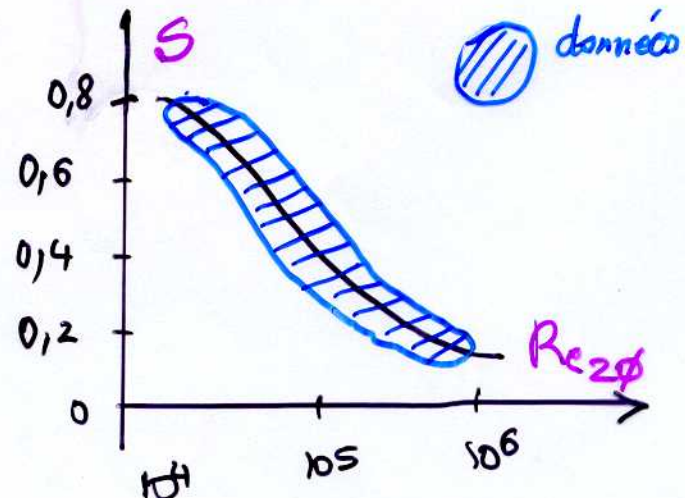
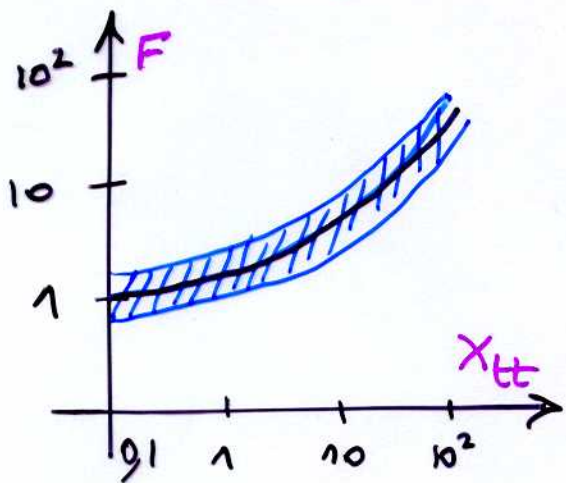
EBULLITION SATURÉE

- Ebullition saturée (franche) Chem (1966).

Ponderation de deux mécanismes.

1 - Ebullition nucléée Forsler & Zuber (1955)
pondérée par un facteur de suppression S

2 - Convection forcée Dittus Boelter (1930)
pondérée par un facteur d'amplification F



$$X_{tt} \text{ paramètre de Martinelli } X_{tt} = \left(\frac{1-x_{eq}}{x_{eq}} \right)^{0,9} \left(\frac{\rho_v}{\rho_L} \right)^{0,5} \left(\frac{\mu_L}{\mu_v} \right)^{0,1}$$

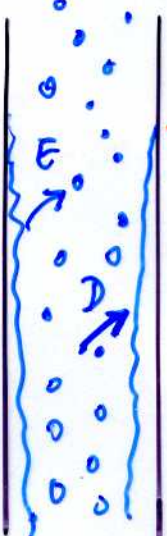
$$F = \begin{cases} 1 & \text{si } 1/X_{tt} \leq 0,1 \\ 2,35 (1/X_{tt} + 0,213)^{0,735} & \text{autrefois} \end{cases} \quad R_{2\phi} = \frac{DG(1-x_{eq})}{\mu_L} F^{1,25}$$

$$1/S = 1 + 2,53 \cdot 10^{-6} R_{2\phi}^{1,17} \quad ; \quad \Delta P_{sat} = \frac{2 \cdot (T_p - T_{sat})}{T_{sat} (1/\rho_v - 1/\rho_L)} [C.C.]$$

$$h = 0,00122 \frac{k_L^{0,73} C_{PL}^{0,05} \rho_L^{0,49}}{\sigma^{0,5} \mu_L^{0,29} \alpha^{0,24} \rho_v^{0,24}} (T_p - T_{sat})^{0,24} S + 0,023 \left[\frac{DG(1-x_{eq})}{\mu_L} \right]^{0,8} \left(\frac{\rho_v \mu_v}{k_L} \right)^{0,4} \frac{R_{2\phi}}{D} F$$

CRISE D'ÉBULITION ET ASSECHEMENT

- Modèles (HARRELL A.F. Model) Assechement (Dryout)



Bilan de Masse du film liquide

$$M_L = \infty M = M_{LF} + M_{LE}$$

$$\frac{dM_{LF}}{dz} = \beta (D - E - \frac{q}{L})$$

D : taux de déposition (modèle)
 E : taux d'entraînement (modèle)

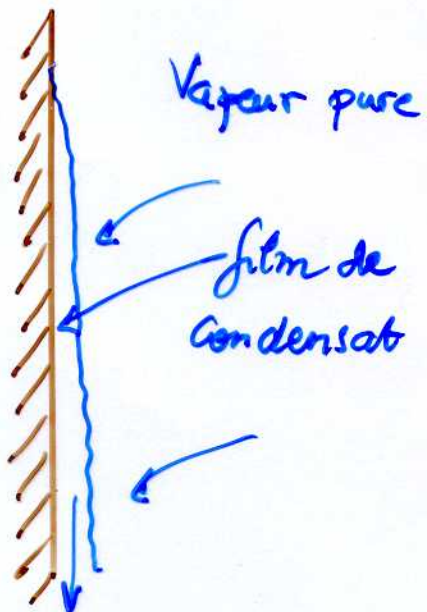
β périmètre mouillé D/E débit mousse / unité d'aire parietale

- CORRELATION CALEFACTION et ASSECHEMENT

— pas de modèle général pas de mécanisme simple
 très sensible à la géométrie (grilles de mélange)
 \Rightarrow approche empirique incontournable. Δ

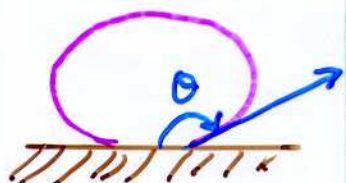
- Tables Groeneweld, Académie des Sciences URSS
 - tube 8 mm - flux uniforme -
- Corrélations (Poly p.400)
 - Spécifiques et précises (eau PWR) Bowring (1972)
 - Sans dimension multigradie (Cryo, métal liquide...) Katto et Ohne (1984)

CONDENSATION de VAPEURS PURES



• Condensation de vapeur pure

film liquide, écoulement
gouttelettes, surface hydrophobe (θ grand)
- propreté nécessaire
- meilleur échange



⚠ • Mélanges / incondensable

non symétrie condensation évaporation
couche limite de diffusion: accumulation
incondensables - paroi froide

CONDENSATION EN FILM.

- Coefficients d'échange

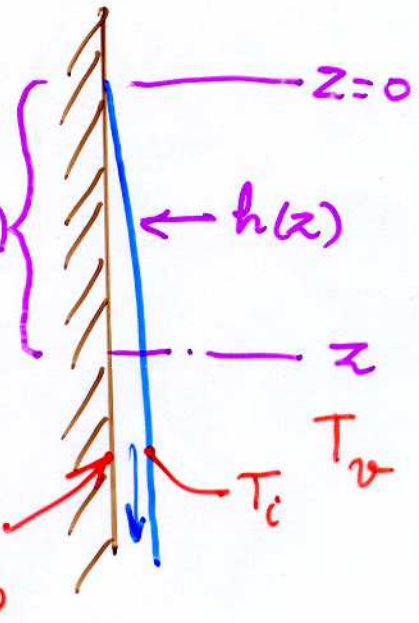
$$T_{\text{interface}} = T_{\text{sat}} \text{ (eq. Thermo)} \quad \bar{h}(z) \quad \left\{ \begin{array}{l} z=0 \\ \leftarrow h(z) \\ z \end{array} \right.$$

local :

$$h(z) \triangleq \frac{q}{T_i - T_p} = \frac{q}{T_{\text{sat}} - T_p}$$

global :

$$\bar{h}(z) \triangleq \frac{1}{z} \int_0^z h(z) dz$$



- Mécanismes physiques

Résistance prépondérante : film épaisseur et structure du film

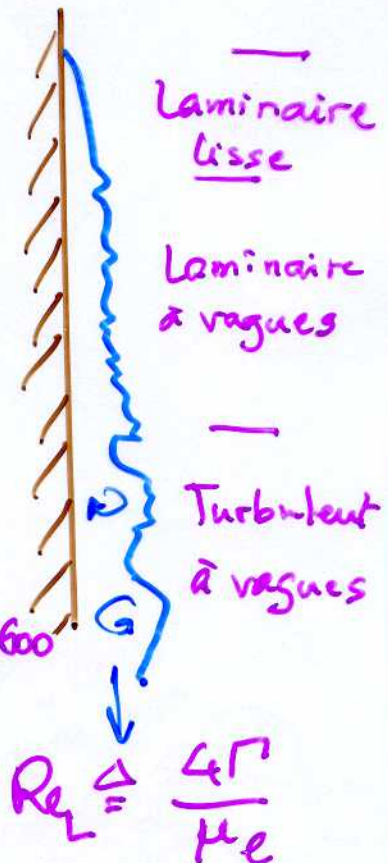
\Rightarrow Régimes Thermiques

— Lamininaire lisse $Re_L < 30$

— Lamininaire à vagues $30 < Re_L < 1600$

— Turbulent $Re_L > 1600$

$$\Gamma \triangleq M_L / D$$



CONDENSATION
EN FILM (suite)

- Condensation film laminaire $R_L < 30$

Nusselt (1916) Rohsenow (1956)

$$h(z) = \left[\frac{k_L^3 \rho_L (\rho_L - \rho_v) g [d + 0,68 C_{pr} (T_{sat} - T_L)]}{4 \mu_L (T_{sat} - T_p) z} \right]^{1/4}$$

$\text{si } (T_p = \text{sat}) : h(z) = \frac{4}{3} h(2) \quad (h \propto z^{-1/4})$

- Débit de condensat :

Bilan thermique à l'interface

$$\Gamma(z) = \frac{\bar{h}(z) (T_{sat} - T_p) z}{d}$$

- Propriétés physiques t° de filtre

$$d = h_v^{\text{sat}} - h_L^{\text{sat}} \quad (@ T_{sat})$$

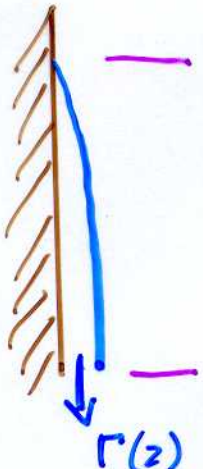
$$\rho_L, h_u @ \frac{1}{2} (T_p + T_{sat})$$

$$\mu_v @ \frac{1}{4} [3\mu_L(T_p) + \mu_L(T_{sat})]$$

- Vapeur saturée $T_v > \bar{T}_{sat}$ Butterworth (1977)

$$\bar{h}_s(z) = \bar{h}(T_v = T_{sat}) \left(1 + \frac{C_{pr}(T_v - T_{sat})}{d} \right)^{1/4}$$

$$\Gamma(z) = \frac{\bar{h}_s (T_p - T_{sat}) z}{d + C_{pr}(T_v - T_{sat})}$$



CONDENSATION
EN FILM (suite).

- Film laminaire adimensionné \bar{h} / débit

$$\frac{\bar{h}(z)}{k_L} \left[\frac{\mu_L^2}{\rho_L(p_L - p_v) g} \right]^{1/3} = 1,47 \quad Re_L^{-1/3}$$

- Film laminaire à vagues $30 < Re_L < 1600$

Kutateladze (1963) $\bar{h}(z) \propto Re_L^{-0,22}$

Zones

$$LL+LV : \frac{\bar{h}(z)}{k_L} \left[\frac{\mu_L^2}{\rho_L(p_L - p_v) g} \right]^{1/3} = \frac{Re_L}{1,08 Re_L^{1,22} - 5,2}$$

- Film Turbulent V_v faible $T_v = T_{sat}$

Labuntsov (1957) $\bar{h}(z) \propto Re_L^{0,25} P_r_L^{0,5}$

Zones

$$LL+LV + TV : \frac{\bar{h}(z)}{k_L} \left[\frac{\mu_L^2}{\rho_L(p_L - p_v) g} \right]^{1/3} = \frac{Re_L}{8750 + 58 P_r^{-0,9} (Re_L^{0,75} - 253)}$$

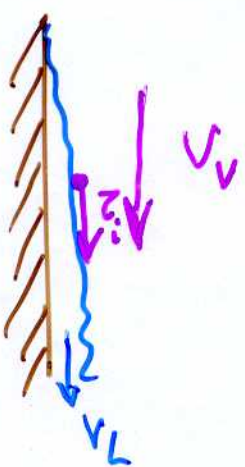
- Effet du frottement interfacial

$V_v \uparrow$ ép. film $\downarrow R_h \rightarrow h \uparrow$

$$h_i \propto z_i^{1/2}$$

- Régime mixte Eff. f.i et g \approx

$$h^2 = h_1^2 + h_2^2$$

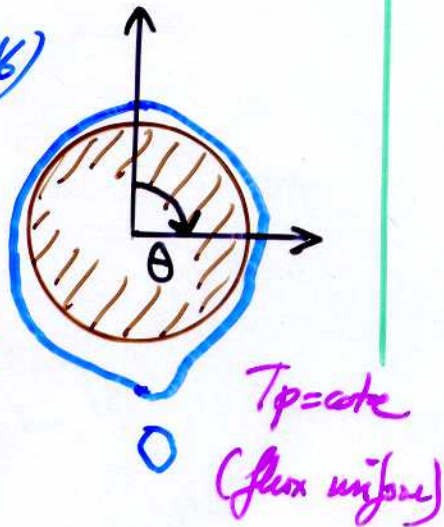


CONDENSATION EN FILM SUR UN TUBE

- Vitesse de vapeur faible Nusselt (MK)

$$\bar{h} = \frac{1}{\pi} \int_0^{\pi} h(\theta) d\theta$$

$$\bar{h} = 0,728 \left[\frac{k_L^3 \rho_L (\rho_L - \rho_v) g D}{(0,70) \mu_L (T_{sat} - T_p) D} \right]^{1/4}$$



Relation débit - échange (Bilan thermique)

$$\frac{\bar{h}}{h_0} \left[\frac{\mu_L^2}{\rho_L (\rho_L - \rho_v) g} \right]^{1/3} = 1,51 Re_L^{-1/3} \quad Re_L \triangleq \frac{4r}{\mu_L}$$

(1,47)

- Effets surchauffe et p. phy → plaque plane
- Effets de la vitesse vapeur (Fujii)

$$\frac{\bar{h}}{h_0} = 1,4 \left[\frac{U_v^2 (T_{sat} - T_p) k_L}{g D \alpha \mu_L} \right]^{0,05} \quad 1 < \frac{\bar{h}}{h_0} < 1,7$$

- Effet de nombre (ruissellement) Kern (1958)

jeuau horizontaux : $\begin{cases} \bar{h}_{vertical} \propto z^{-1/4} \\ \bar{h}_{horizontal} = \Theta(z) \end{cases}$

$$\frac{\bar{h}(ruissellement)}{\bar{h}_0} = N^{-1/6}$$

CONDENSATION en GOUTTES.

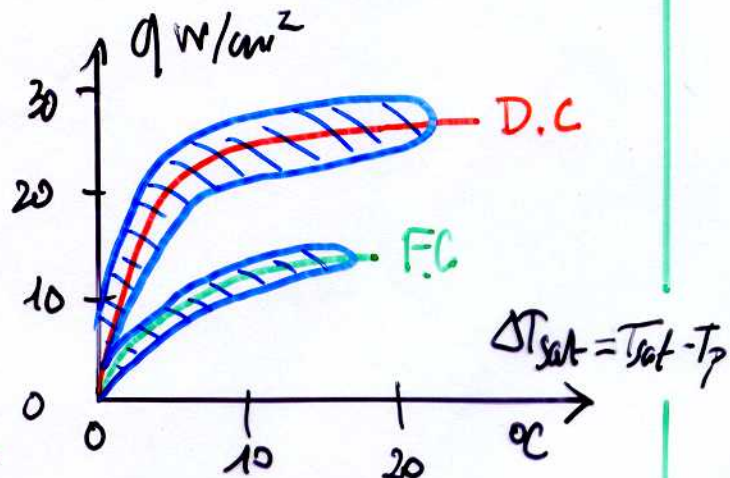
- Mécanisme

Nucléation (sites)

Croissance

coalescence

transfertement Aspiration
(paroi non mouillante)



- Technologie

Additifs, métaux nobles, résines ($995 \cdot 10^3 \text{ hr}$)
(PTFE)

- Calcul du coefficient d'échange

$$\frac{1}{h} = \frac{1}{h_G} + \frac{1}{h_{G0}} + \frac{1}{h_i} + \frac{1}{h_{pr}}$$

$\Delta:$ $x_V = 0,02$ $h \rightarrow h/5$

↑ ↑ ↑ ↑
Inconvénient Chgt de Ø interface promoteur h/18
gantto.

$T_{\text{sat}} > 22^\circ\text{C}$

ex: Vap. d'eau/Cu $h_{G0} = \min(5 + 0,2T_{\text{sat}}, 25)$
 $\text{W}/\text{cm}^2/\text{K}$ $^\circ\text{C}$

INSTABILITÉS STATIQUES

- Stabilité asymptotique

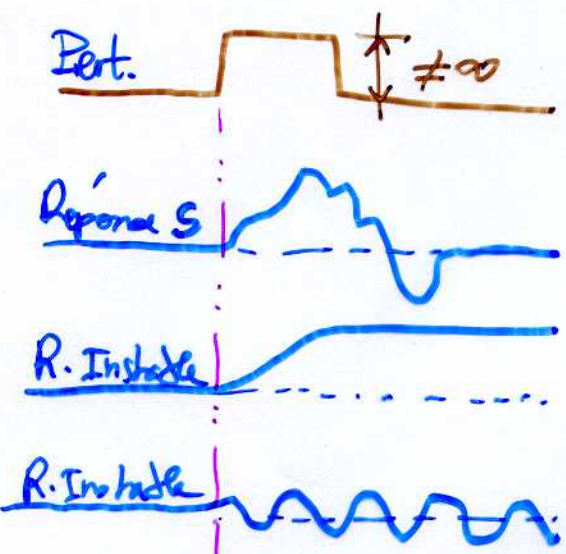
Régime permanent initial

Perturbation \uparrow et \downarrow

Régime permanent final

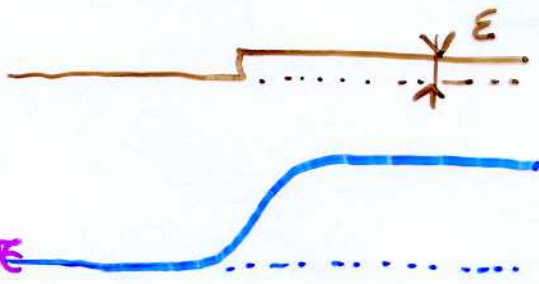
SABLE \rightarrow

Régime final \rightarrow R.P. initial



- Instabilité statique.

Perturbation infinitésimale



$R.P. \text{ init} \neq R.P. \text{ final}$: STATIQUE

analyse : égs R. Permanent

$\cancel{\#}$ R. Permanent : DYNAMIQUE

analyse : égs instationnaires

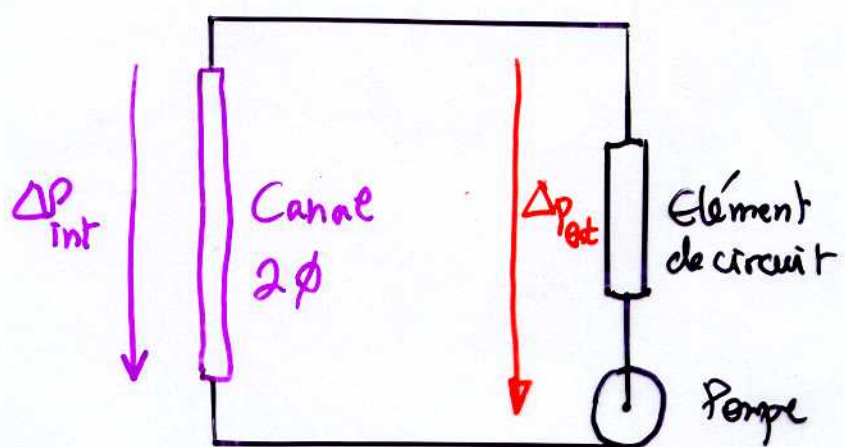
- 2 exemples.

Instabilité de ledinegg (Canal Chauffant)

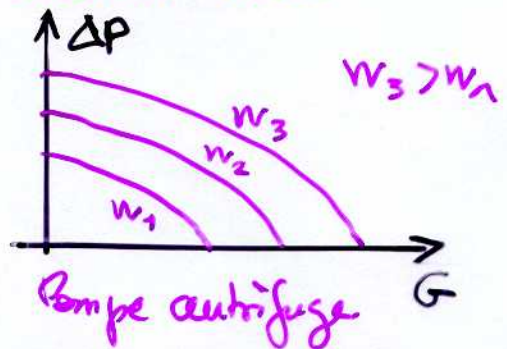
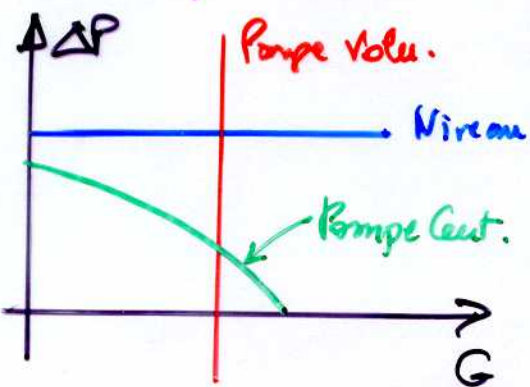
Instabilité de type d'écoulement.

REDISTRIBUTION de débit.

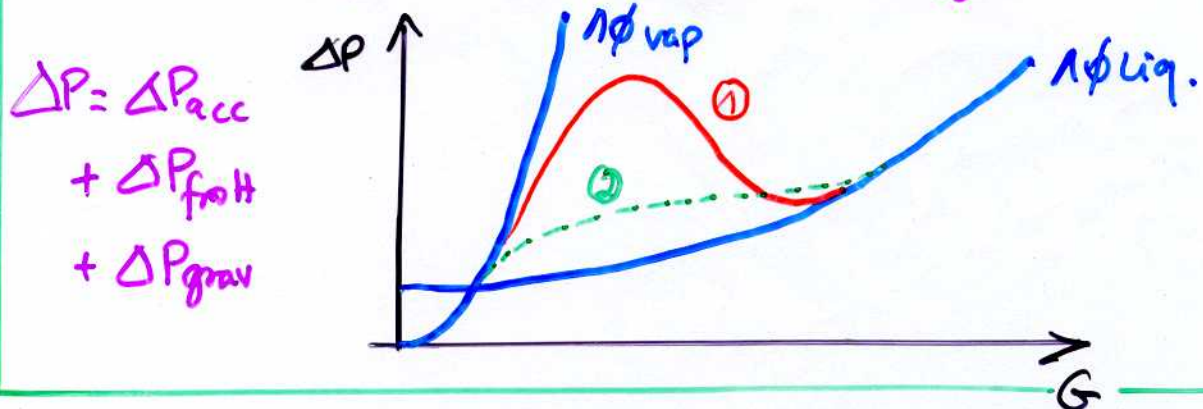
Caractéristiques Hydrauliques



- Caractéristique externe : Pompe centrifuge / volumétrique



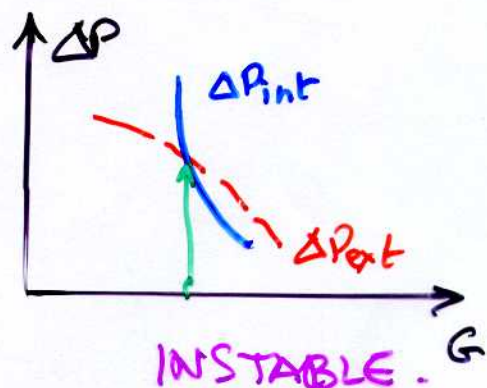
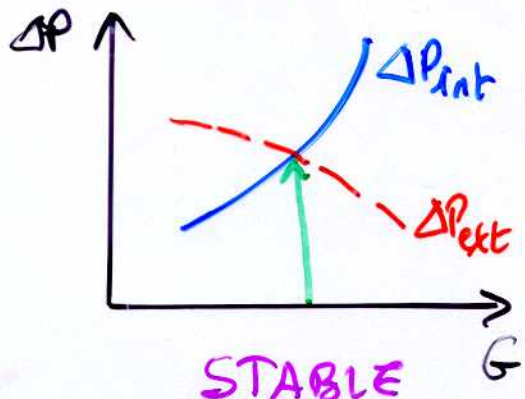
- Caractéristique interne canal chauffant



REDISTRIBUTION de DEBIT (suite)

- Critère de Stabilité de CEDINEGS (1938)

caractéristique externe $\frac{\partial \Delta P_{ext}}{\partial G} < 0$

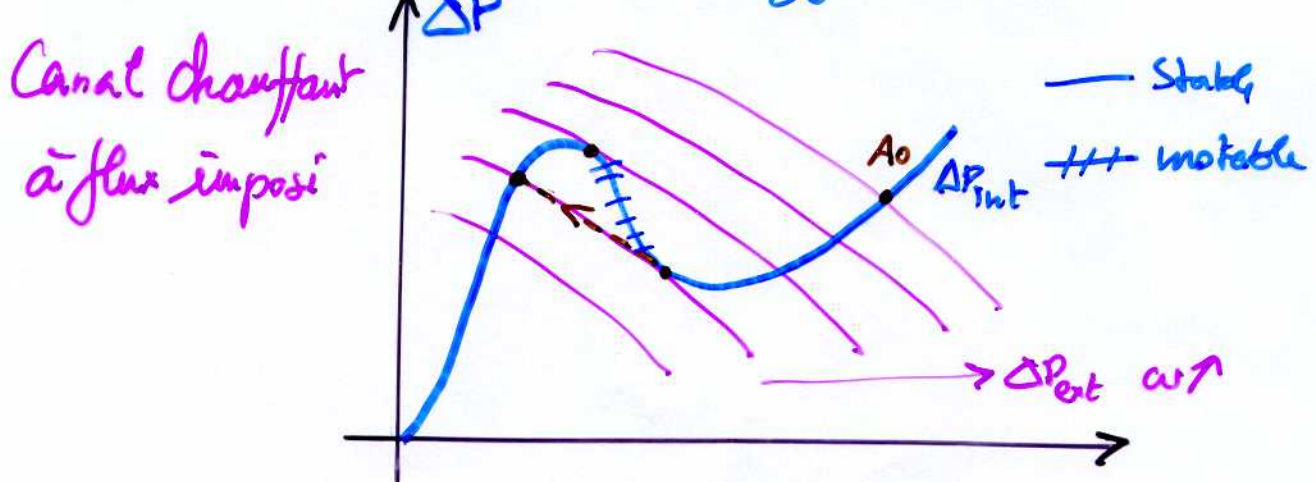


si $G \uparrow \Delta P_{int} \uparrow \Rightarrow G \downarrow$

si $G \uparrow \Delta P_{int} \downarrow \Rightarrow G \uparrow$

(\hat{m} rallement caractéristique C/Ω moteurs asynchrones)

Stabilité : $\frac{\partial \Delta P_{int}}{\partial G} > \frac{\partial \Delta P_{ext}}{\partial G}$

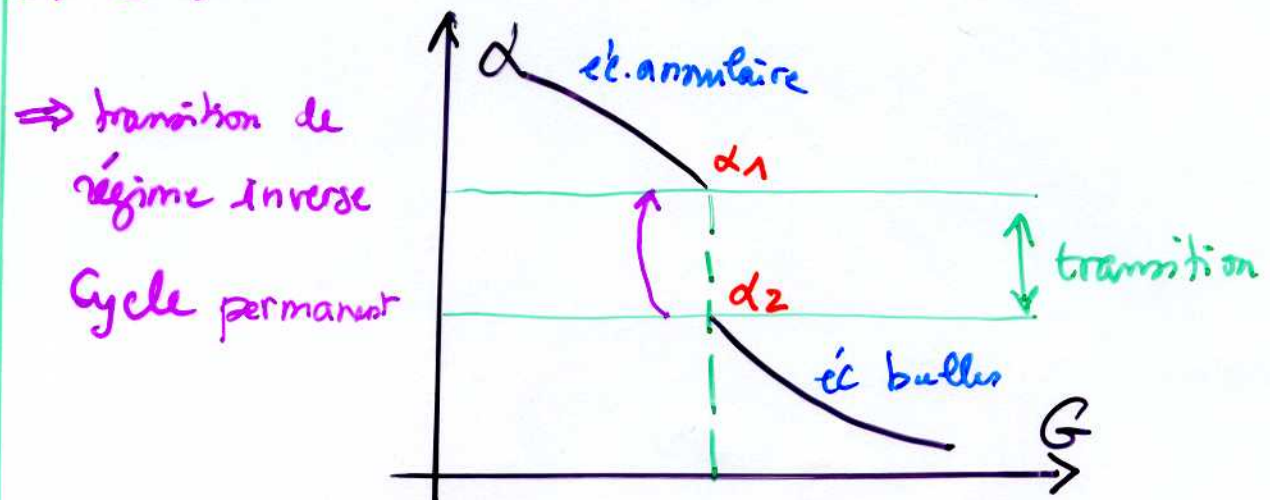
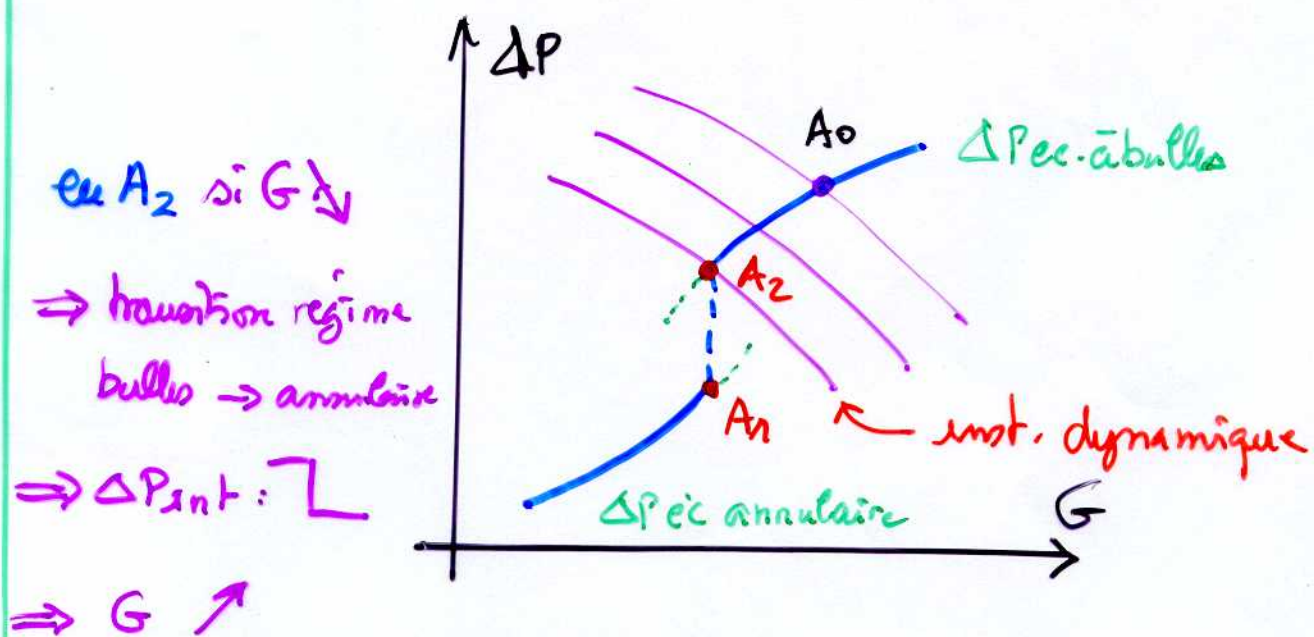


⚠ Instabilité peut engendrer un phénomène

secondaire : si $G \downarrow$ on peut avoir $\phi > \phi_{critique}$
(Bancat — CMF)

INSTABILITÉ du RÉGIME d'ÉCOULEMENT

- Transition de régime d'écoulement dans le domaine de fonctionnement



Modélisation

- instationnaire (réponse thermodynamique)
- Transition du régime
- ΔP par régime